

名古屋大学 正会員 桜澤 宏
甲日本建設コンサルタント(株) 正会員 尾藤宣信

1. まえがき

地震加速度が増加すると、地震時受動土圧の大きさは減少することがZ・3の土圧算定法により指摘されてい。しかししながら、これに関する実験的検討例は数少なくて、しかも地震時受動土圧の特性はあまり明確にされていない。ここでは、室内の大型振動砂槽を用いて行なった地震時受動土圧実験から得られた結果について報告する。

2. 実験装置ならびに実験方法

実験に使用した大型振動砂槽は、内寸法が長さ200cm×幅200cm×深さ75cmの軟鋼製である。側壁の一面が土圧を計測する可動壁によって構成される。可動壁の寸法は高さ50cm×長さ200cmである。その下端部は砂槽底面より25cm上方に位置している。振動中に可動壁に作用する慣性力が土圧に及ぼす影響を除くために、可動壁は図1に示すように左右対称の2枚に分離されており、それぞれのバランスが調整されている。可動壁に作用する土圧の合力、合力の着力点ならびに壁摩擦角の計算には合計10個の荷重計を採用している。詳細については文献1)を参照されたい。

実験における砂の密度を測定し、砂槽中詰め砂の密度を $\gamma_d = 1.57 g/cm^3$ ($D_r = 78\%$)以下、これを基準砂と称する)と $\gamma_d = 1.47 g/cm^3$ ($D_r = 46\%$)以下、これを薄土・穴砂と称する)の2種類に変化させた。砂槽内に砂を所定の密度に詰めたのち、2.67Hzの一定レートで振動の力とて可動壁を中詰め砂に向けて変位させ、変位に応じる荷重計の読みを連続的に記録した。なお、中詰め砂中で推定される拘束圧(σ_3 は $(200 \sim 300) g/cm^2$)のもとでの三軸圧縮試験による

と、この砂の内部摩擦角 ϕ は壁に沿って $\phi = 45.2^\circ$ 、端部・穴砂 $\phi = 42.8^\circ$ である。この値より平面ひずみ状態の内部摩擦角 ϕ' を推定すると、それは $\phi' = 49.2^\circ$ と 46.3° である。

3. 実験結果と考察

密な砂にかかる土圧係数 K 、土圧合力の相対着力点 γ/γ_d は

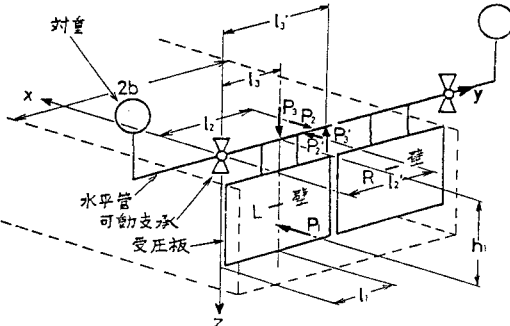


図 1

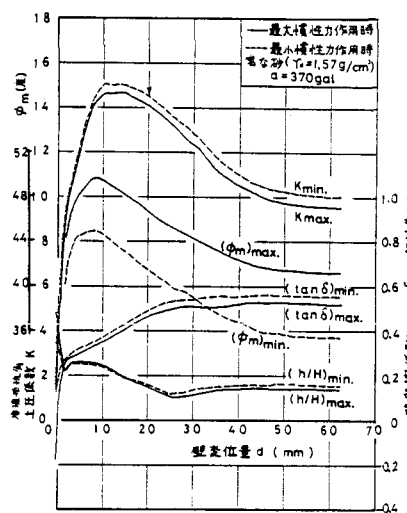


図 2

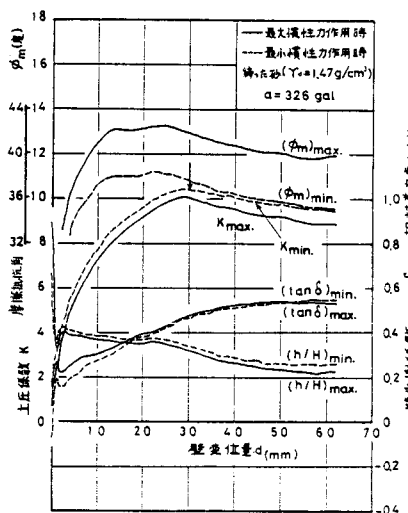


図 3

らびに、壁摩擦係数 $\tan \delta$ の値を壁の変位量 α を横軸にとって示しての一例が図2である。実験における加速度 α は $a = 370 \text{ gal}$ である。ここで、 α は可動壁下端から上圧合力の着力点までの高さ、 H は壁高である。 $H = 40 \text{ cm}$ で実験した。図2には K 、 $\tan \delta$ それぞれについて最大慣性力作用時と最小慣性力作用時の値が示されている。最大慣性力作用時は振動中に慣性力が可動壁から中詰め砂に伝わって作用し、その絶対値が最大になる時を称し、この逆を最小慣性力作用時という。図2には、対数から線法により K と $\tan \delta$ の実測値を満足するための砂の摩擦角を示してある。また、図中の矢印はすべり面が地表面に現れた時を示している。締まつた砂に対する結果を図2と同様に示したもののが図3である。

- 図2、3より、(1) 砂は K と逆位相で振動していること、(2) 砂が最大値に達したのちに K は最大値に達すること、(3) K が最大値に達したのちにすべり面が地表面に現れることが、(4) すべり面が地表面に現れた後も $\tan \delta$ の値は増加し続けることがある。

図4は最大慣性力作用時における土圧添数について、 K の最大値 K_p と ϕ_m の最大時 ($\phi_m = \max$ 時) の土圧添数 $K_{\phi=\max}$ を加速度に對して示した図である。この図によれば、密な砂の土圧添数は加速度の増加に對して減少する傾向を示したが、締まつた砂ではこのままで傾向は見られなかった。また、 K_p の値は $K_{\phi=\max}$ に對して密な砂で約3.5%、締まつた砂で約9%大きい。この理由は、図5に示したように、 $\phi_m = \max$ 時における $\tan \delta$ の値に對して、 K の最大時ににおける $\tan \delta$ の値が大きいことによる。すなはち、図2には示していないが、一連の壁変位の過程に對して得られた最大慣性力作用時における砂の最大値は、密な砂において $49 \sim 50^\circ$ であり、締まつた砂で $39.3 \sim 43^\circ$ であった。密な砂における ϕ の値は前述した中の推定値に良い合致を示している。 K の最大時ににおける砂の値は、密な砂で平均0.7%，締まつた砂で2.4%の減少が見られた。図4には参考のために、 K の最大時ににおける ϕ の実測値の平均値を用いて計算して対数から線法による地震時土圧添数を実線で示してある。図示したように、密な砂で $\phi = 49 \sim 50^\circ$ としに計算値が実測値に比較的良く合致している。これに對して、締まつた砂では実測値を満足させるための内部摩擦角の値を加速度に応じて増加させる必要があるという結果が得られた。

4 むすび

以上に述べたことから、密な砂における地震時垂直土圧は加速度が増加すると減少する傾向にあることがわかった。また、この実験より、 K と ϕ の実測値がシグマこれらの値を満足させるための対数から線法における内部摩擦角の値は壁変位中にそれが最大値を示すが、最大値を示す壁変位の位置は互に異っていた。このことから、中詰め砂のせん断破壊と壁面に沿うすべりは同時に発生しないことが推定される。

なお、この研究の一部は昭和53年度文部省科学研究費(一般B)に割り当てられた。

- 〈参考文献〉
 1) 市原松平・鈴木・中西吉輔・尾藤宣信：“地震時垂直土圧の計測”，第5回日本地震工学シンポジウム論文集，1976年11月，pp. 809～816.
 2) 宇原松平・鈴木：“平面ひずみ状態における転倒繩かけのせん断持性”，土木学会論文報告集，No.173，昭和45年，pp. 47～59.

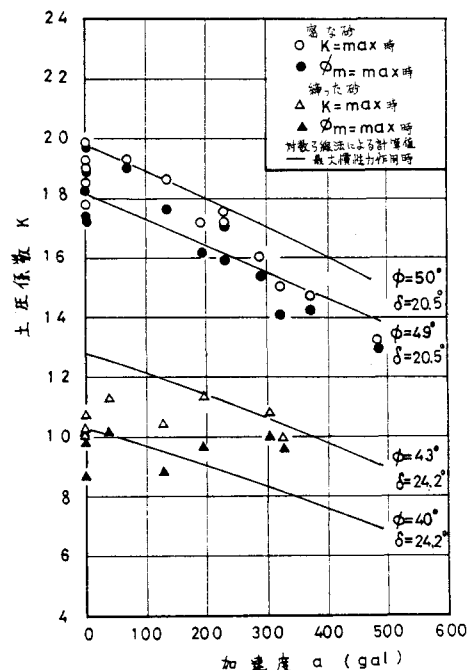


図4

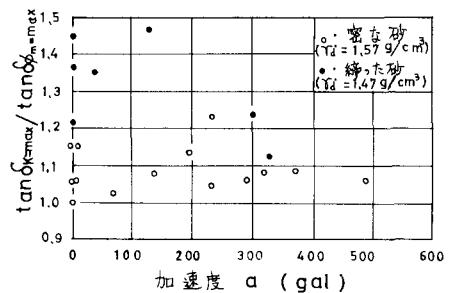


図5